

## 音響系におけるカオスの実験

京大 超高層電波研究センター

北野正雄  
Kitano Masao  
藪崎 努  
Yabusaki Tsutomu  
小川 徹  
Ogawa Toru

### 1. まえがき

決定論的な方程式で記述される物理系が示す不規則なふるまい(カオス)は、多くの分野の人々から関心を寄せられている。その方程式の種類も、最も単純な差分方程式(1次元写像)から流体を記述する複雑な偏微分方程式まで多岐に亘っている。

レーザーをはじめとする非線形光学の分野においてもカオスの研究が盛んである。<sup>1)-4)</sup> Haken<sup>1)</sup> はレーザー方程式と有名な乱流モデルのローレンツ方程式との類似性を導出した。一方、Ikeda<sup>2)</sup> はより実験可能な系として光2重安定素子(optical bistable device)が不規則な振動現象を呈する<sup>3)</sup> ことと理論的に予想した。光2重安定素子は非線形吸収媒質を光

共振器の中においたもので、共振器の帰還作用のため非線形性が強調され、その入射光透過光強度特性にヒステリシスを生ずるのでこの名がついている。予想された不安定性は、光が共振器を一巡するのに有限時間がかかることに起因しており、彼らはこれを delay-induced instability と呼んでいる。Gibbs ら<sup>3)</sup> は光-電子混成回路にF子光2重安定素子で実験を行ない、ランダムな発振を確認した。また彼らはこの系が周期倍化分岐 (period doubling bifurcation) を繰り返してカオスに至ることを見出し出した。1次元写像において詳しく調べられている周期倍化現象が他の種々のクラスの物理系で観測されていることは大変興味深い。<sup>5)</sup>

ここでは、上の delay-induced instability が身近な音響系においても観測されることを示す。

## 2. 実験系

我々の系を図1に示す。全波整流回路を除けば、マイクrohホン-アンプ-スピーカという構成になり、いわゆる拡声システムである。よく経験できるようにマイクとスピーカの方角に向けると、帰還路が形成され「ピー」という単一音の自励発振 (ハウリング) を生じる。この系にカオスをもたらすものは全波整流回路である。全波整流回路は入力電圧の絶対値

に比例した電圧を出力する回路である。絶対値関数の単峰特性がカオス形成に本質的な役割を演ずる。実際の実験では、正確な特性を得るため絶対値回路は図1の右ののではなく、オプジーショトルアンプを用いた回路<sup>6)</sup>を使用した。

この系を図2のように単純化する。遅延 $t_R$ はスピーカ-マイク間を音が伝わる時間を表わす。R, Cによる高域カットフィルタはアンプ(あるいはスピーカ, マイク)の高域特性を代表してゐる。また $\mu$ はループゲインを表わしてゐる。絶対値回路の非線形性は、 $f(V) = -|V + V_0| + V_0$  で与えられる。  $V_0$  は入力のオフセット電圧で同期倍化現象を起す上で重要な働きをする。  $V = 0$  の系の平衡点とはるよう  $f(0) = 0$

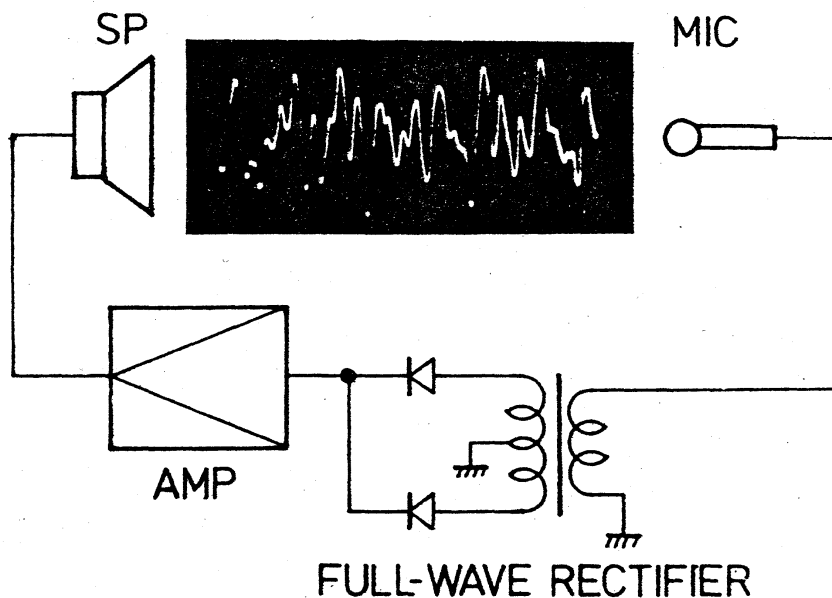


図 1.

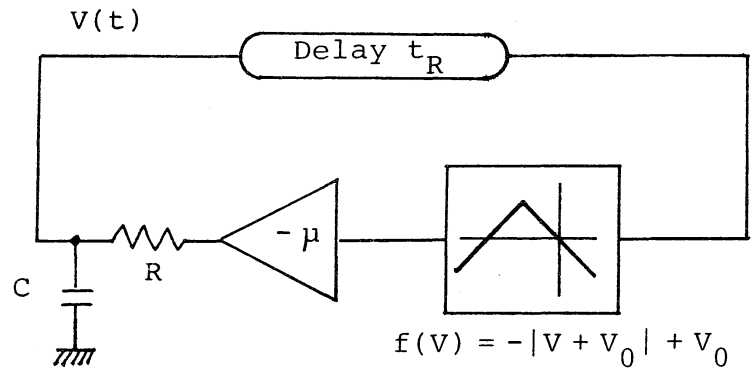


図 2.

かみだされたように  $\mu$  を  $-\mu$  と選んだ。この平衡点まわりの小振幅の発振はほぼ正負対称に起り、直流成分は小さいと考えられる。したがって現実の系がもつ低域力  $\omega$  の特性を無視し方程式を単純化できる。

図 2 より系の方程式は次のように書ける。

$$\gamma^{-1} \dot{x}(t) = -x(t) + \mu F_1(x(t-t_R)) \quad (1)$$

$$F_1(x) = -|x + 0.5| + 0.5$$

ここで  $x = V/2V_0$ ,  $\gamma^{-1} = CR$  である。

この方程式は Ikeda らによつて導き出されたのと同じ差分微分方程式である。ただし、非線形関数の峰の形が彼らの場合、2次関数で近似されるのに対し、我々の場合は折線で表わされる点に異なるといえる。

さて、式(1)で  $\gamma \rightarrow \infty$  の場合を考えると

$$x(t) = \mu F_1(x(t-t_R)), \quad t \in \mathbb{R} \quad (2)$$

ある  $n$  は  $x_n(t) = x(nt_R + t)$ ,  $n \in \mathbb{Z}$ ,  $t \in [0, t_R]$  とおけば

$$x_n(t) = \mu F_1(x_{n-1}(t)) \quad (3)$$

とは,  $\mathbb{Z}$  によく知られた 1次元写像の族が得られる。

適当な  $\mu$  の値に對し, 1次元写像(3)が乱雑解を持つことはよく知られており, この自然な連続系への拡張(1)も乱雑解を持つことが期待される。

### 3. 実験結果

図1の系はポンプのポリユームを充分上げると期待されるとおり, 雑音を發した。またマイク-スピーカ間の距離, ポンプのポリユーム, トーンコントロールはどのパラメータを變化させても, 単一音から複雑に変調された雑音まで多種のモードの発振が聞かれた。これらのうちのモードを調心上げるとは困難なのでここでは発振閾値付近で観測された同期倍化現象について述べる。実験はオシロ  $t_R = 0.37 \text{ ms}$  (スピーカ-マイク間隔  $13 \text{ cm}$ ),  $\gamma = 6.8 \text{ kHz}$  で行は, た。

図3は観測された同期倍化現象である。オシロスコープの縦軸はマイクの出力電圧, 横軸は時間である。ポリユームを上げてゆくと, (a) 同期約  $2(t_R + \gamma^{-1})$  で発振を開始し, (b) 1オ

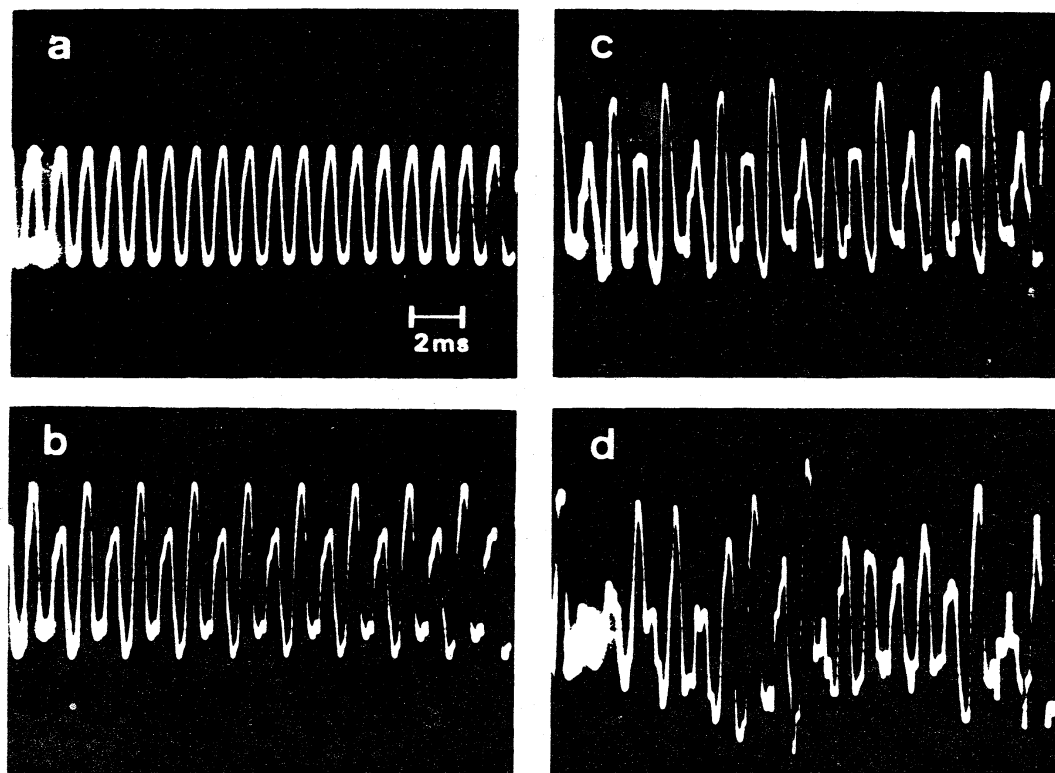


図3

1/2 - 7" 低の音が重畳して聞える。(c)引を続きもう1オクターブ下の音が聞える。(c)の状態を与えるポリューム4の範囲は非常に狭く、調整は微妙であった。無造作にポリュームを上げてゆくと、(b)の状態からやがて(d)のランダムな発振状態に移行するように見える。今後(a), (b), (c)の発振を同期2, 4, 8分は、 $P_1, P_2, P_3$ と呼ぶことにする。

図4は実験的に得られた分岐図(bifurcation diagram)である。帰還回路の一部に外部電圧で増幅度を変えられる増幅器(voltage controlled amplifier)を挿入し、外部電圧を

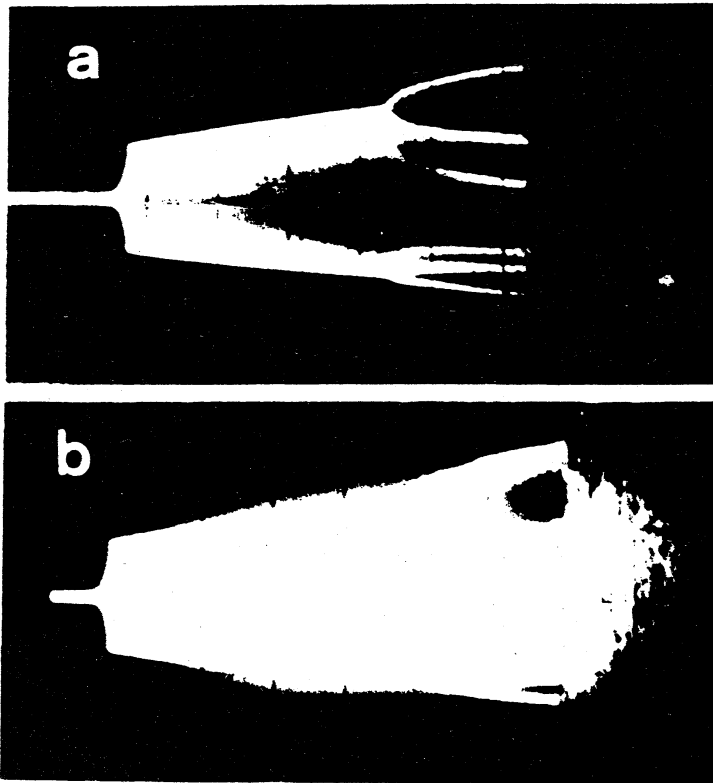


図4

2 周期 30 秒程度の のこぎり波を加え、 $\mu$  と  $\nu$ 、 $\kappa$  を帰引した。オシロスコープの横軸にはこの のこぎり波を印加し、縦軸には、マイクの入力電圧を加えた。共振波形の各ピークにある部分ではブランチ管のビームスポットが仰向きに動くのと同時に、 $\kappa$  が明子く強調される。

まず無共振状態から、周期 2 の有限振幅の共振への分岐が見られる。その分岐は pitch-fork 的に周期 4 の状態へ移行していき、前にも述べたように周期 8 の状態は見にくく、むしろランダムな共振状態に移行していきように見える。ランダム状態ではビームスポットが上下にランダムに動いていく。

るのこ明子  $\mu$  が強調された部分が多く、図4(a)では何も見えない。この部分をよく見るために  $\mu$  の強度を増したのが図4(b)である。

#### 4. 計算との比較

1次元写像(3)からはじめよう。非線形性が2次の  $\mu$ - $\mu$  を持つときの定常解の分岐の様子はよく調べられている。例として、 $F_1$  の代わりに  $F_2 = -x(x+1)$  を採用した時の分岐図を示す。図5は、各  $\mu$  について適当な初期条件から始めて定常に達した  $x_n$  を逐次プロットしたものである。  $\mu$  を増してゆくと

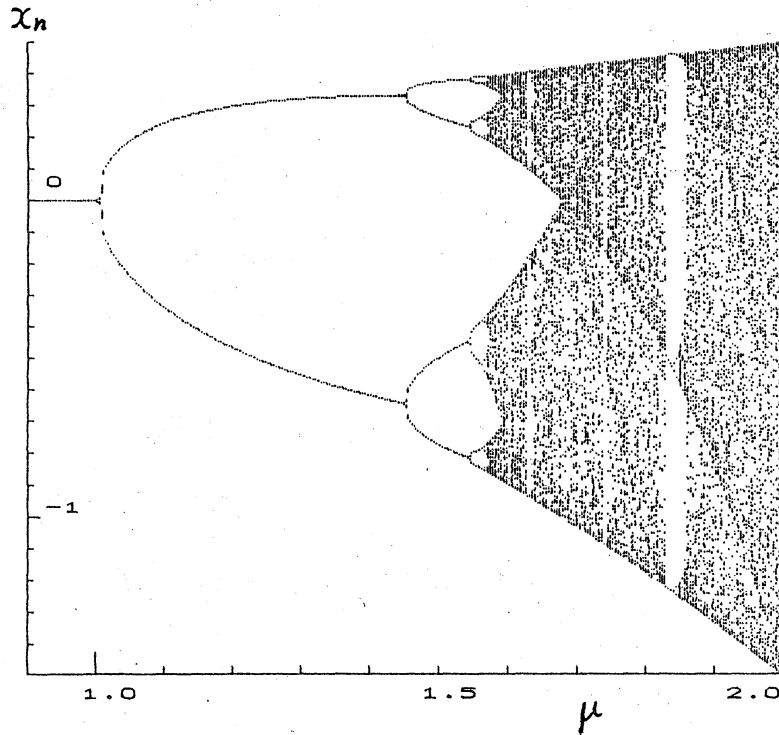


図5



と、 $\mu = \mu_k$  で  $P_k$  (周期  $2^k$ )  $\rightarrow$   $P_{k+1}$  (周期  $2^{k+1}$ ) の周期倍化分岐を繰り返して、 $\{\mu_k\}$  の集積点  $\mu_\infty$  までカオスが指す。  $\mu_\infty$  を越えると、逆に  $\mu = \mu_{(k)}$  で  $P_{(k+1)} \rightarrow P_{(k)}$  の逆分岐では band merging が見られ最後は完全な (fully-developed) カオス  $P_{(0)}$  に至る。 逆に  $P_{(k)}$  は周期  $2^k$  カオス (period  $2^k$  chaos) と呼ばれ、 $2^k$  個のバンドを順次循環する解を表わす。  $\mu_\infty$  は  $\{\mu_{(k)}\}$  の集積点でもある。

一方、式(3)のように非線形が  $F_1$  の場合の分岐図はこれとやや異なる。 図6(a)にこれを示す。 注目すべき点は周期倍化分岐は見られず、逆分岐だけが起こることを示している。 分岐を整理してみると、

$$F_2: P_0 \rightarrow P_1 \rightarrow P_2 \rightarrow \dots \rightarrow (\text{カオスの始まり}) \rightarrow \dots \rightarrow P_{(2)} \rightarrow P_{(1)} \rightarrow P_{(0)}$$

$$F_1: P_0 \rightarrow (\text{カオスの始まり}) \rightarrow \dots \rightarrow P_{(2)} \rightarrow P_{(1)} \rightarrow P_{(0)}$$

我々の系は、 $F_1$  を含んでいるにもかかわらず、周期倍化分岐が見られた。 この矛盾は差分微分方程式(1)を  $\gamma \rightarrow \infty$  とした差分方程式(3)に近似してこれに起因していると考えられる。

これは差分微分方程式を数値的に解いてみる。 実験的分岐図(図4)と対応をつけるため、各  $\mu$  について定常解の  $t_0 - \gamma$  値を 50  $t_R$  分だけ計算してみる。 図6(b), (c), (d)は、それぞれ  $t_R \gamma = 9, 6, 3$  に対応する分岐図である。

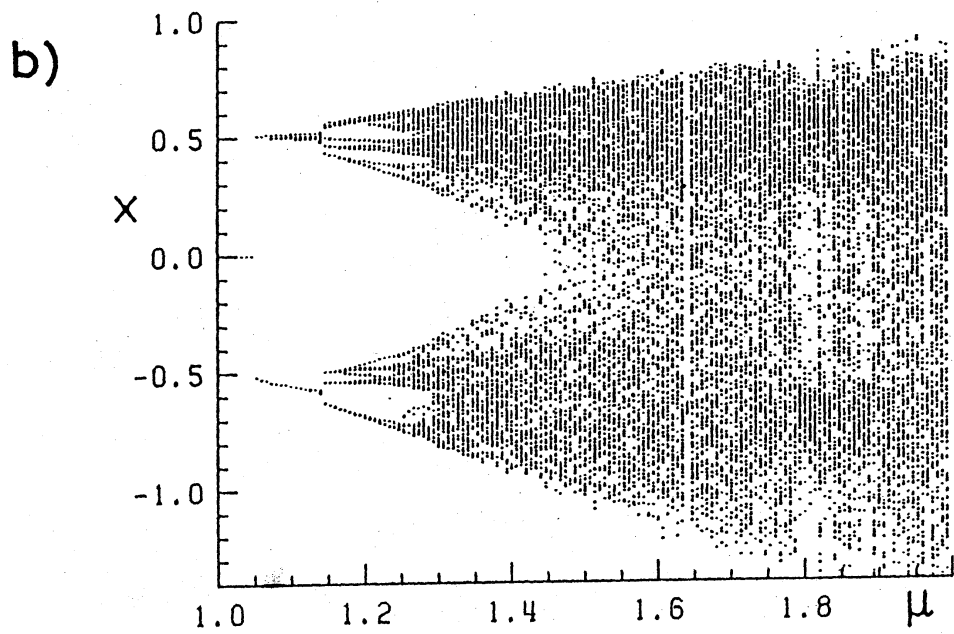
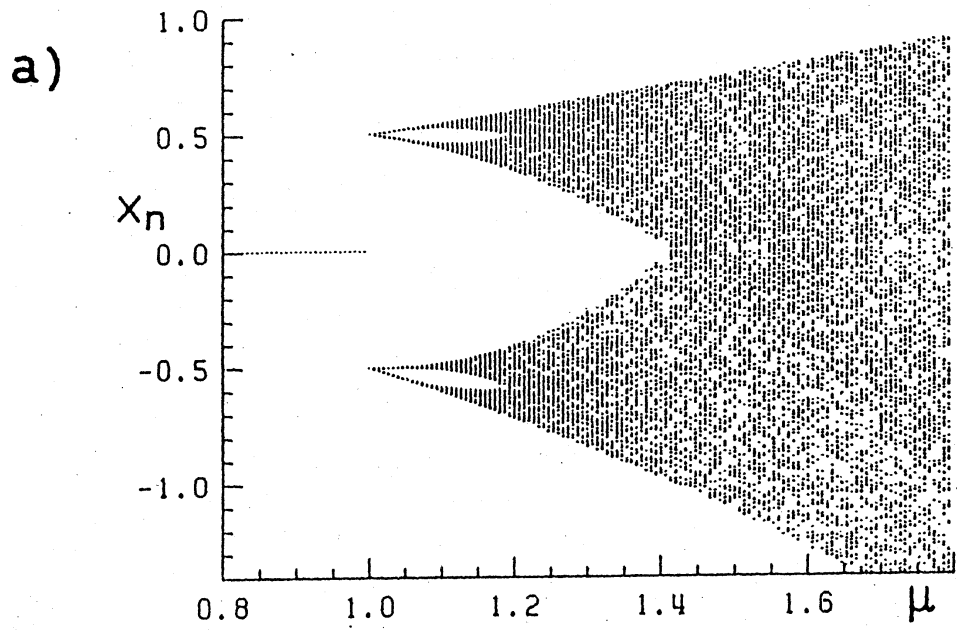


图 6

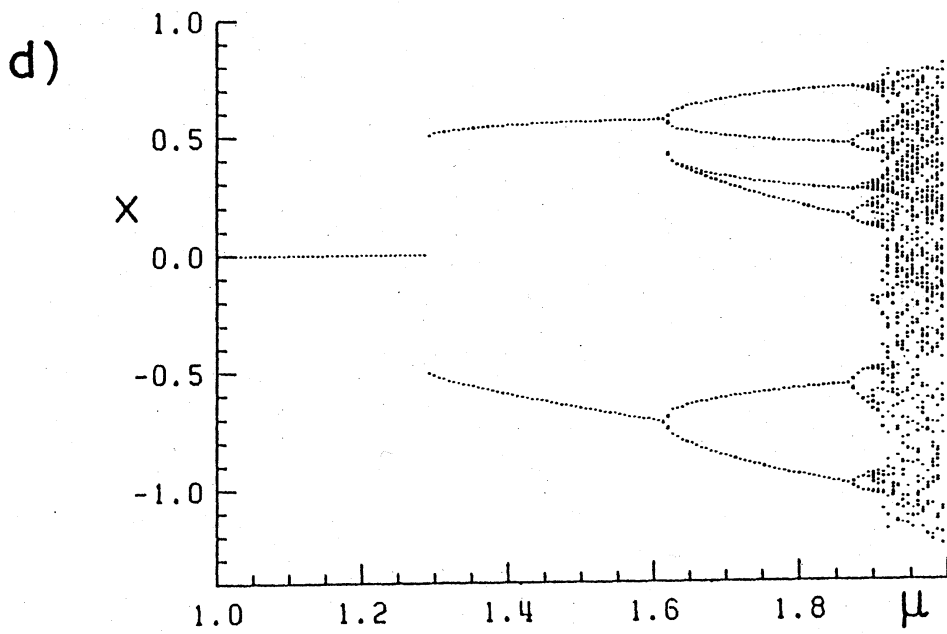
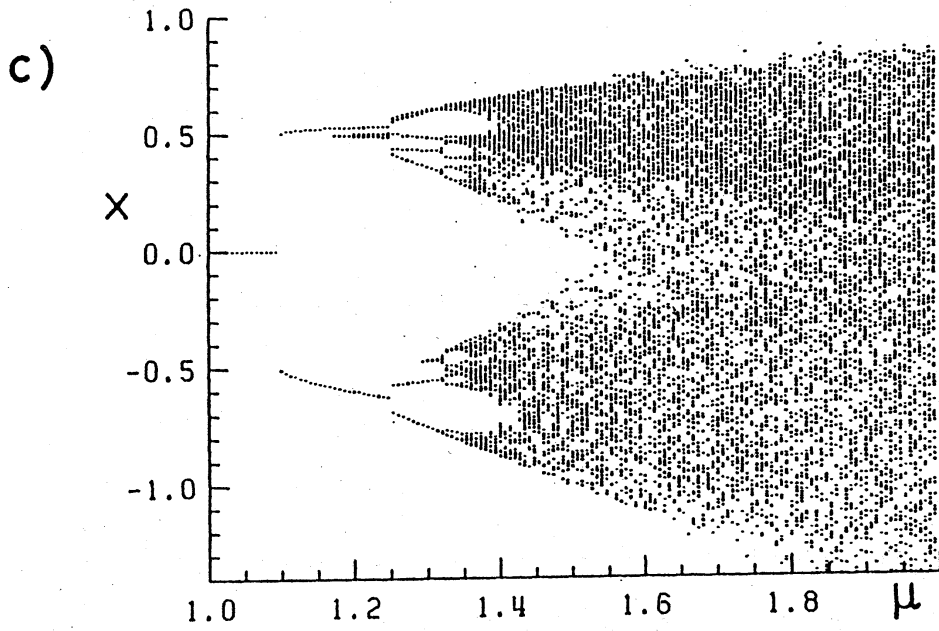


図 6 (つぎ)

第1分岐点  $\mu_0$  は、安定性解析から

$$\mu_0 = \sqrt{1 + \left(\frac{\pi}{\gamma t_R + 1}\right)^2} \quad (4)$$

とは、 $\gamma t_R$  が小さくなると、1から大きくなる方向に小さくなることわかる。

$\gamma t_R = 9$  の場合 (b) は差分方程式の分岐図と似ているが、第1分岐の直後  $P_1$  が表われない点で大きく異なり、 $\gamma t_R = 6$  (c) では、 $P_2$  も見える。  $\gamma t_R = 3$  (d) では、 $P_1, P_2$  の領域はさらに拡大し、小さくなるながらも  $P_3$  が表われない。特に (d) は実験の分岐図と定性的によく一致している。実験の  $\mu$  対  $\gamma t_R$  の評価を見ると  $\gamma t_R \approx 2.5$  である。

系の応答の有限性が、カオスの領域を安定化した周期解の領域に変化させていると見ることもできる。また一方、(a) で見られる  $P_{(1)}, P_{(2)}$  などの領域が  $\gamma t_R$  の減少に伴って縮小し、 $\gamma t_R = 3$  ではほとんど消失していることも興味深い点である。

## 5. まとめ

非常に身近にある道具でカオスの実験を行なったことを示した。系のふるまいは有名な1次元写像の連続系への拡張で記述され、しかも周期倍化現象と目で間接的に確かめることができる。

教育的にもある。

分岐図は、系の応答時間  $\tau_1$  と遅延時間  $t_d$  の比によ、大きく変化する。  $t_d/\tau_1$  が小さくなるほどカオスが抑制され、周期解が出現するようになる。

今後、カオスのほじまり近傍の分岐図のようすを詳しく調べ、周期倍化分岐の無限につづいていけるかどうかを調べる必要がある。

## 謝辞

本研究の発表の機会を与えて下さる、京都大学工学部上田皖亮先生に感謝します。また、デモンストレーション用の小型装置を組み立ててくれた加田修己氏に感謝します。

## 参考文献

- 1) H. Haken, Phys. Lett. 53A, 77 (1975).
- 2) K. Ikeda, H. Daido, and O. Akimoto, Phys. Rev. Lett. 45, 709 (1980).
- 3) H. M. Gibbs, F. A. Hopf, D. L. Kaplan, and R. L. Shoemaker, Phys. Rev. Lett. 46, 474 (1981); F. A. Hopf, D. L. Kaplan, H. M. Gibbs, and R. L. Shoemaker, Phys. Rev. A25, 2172 (1982).
- 4) Y. Silberberg and I. B. Joseph, Phys. Rev. Lett. 48, 1541 (1982); C. M. Savage, H. J. Carmichael, and D. F. Walls, Opt. Commun. 42, 211 (1982); K. Ikeda and O. Akimoto, Phys. Rev. Lett. 48, 617 (1982).
- 5) J. Testa, J. Perez, and C. Jeffries, Phys. Rev. Lett. 48, 714 (1982); M. Giglio, S. Musazzi, and U. Perini, Phys. Rev. Lett. 47, 243 (1981); C. W. Smith, M. J. Tejwani, and D. A. Farris, Phys. Rev. Lett. 48, 492 (1982).
- 6) J. G. Graeme, Applications of Operational Amplifiers (McGraw-Hill, New York, 1973);

岡村進夫, OPアンプ回路の設計 (CQ出版, 1973).